

туннельный процесс эмиттер-база-коллектор имел метастабильный характер и восстанавливался только через десятки минут. Этот эффект обусловлен обеднением базы дырками вследствие ее двумерности. Восстановление туннелирования через базу определяется временем ухода электронов с отрицательно заряженных акцепторов в коллектор.

Таким образом, реализация условий фрактальной диффузии позволяет получать двумерные р-п-переходы и транзисторные структуры, демонстрирующие туннельные процессы как при прямом, так и при обратном включении.

С п и с о к л и т е р а т у р ы

- [1] Frank W., Gössle U., Mehlreiter H., Seeger A. - Diffusion in Silicon and Germanium. - Diffusion in Crystalline Solids. Academic Press Inc., 1984. P. 63-142.
- [2] Kolb M., Gaauweit J.F., Saarow B. // Europhys. Lett. 1987. V. 3. N 1. P. 33-38.

Поступило в Редакцию
20 ноября 1990 г.

Письма в ЖТФ, том 17, вып. 2

26 января 1991 г.

05.4

© 1991

ВЛИЯНИЕ УСЛОВИЙ ВЫСОКОТЕМПЕРАТУРНОЙ СТАДИИ
ОТЖИГА НА ФОРМИРОВАНИЕ МИКРОСТРУКТУРЫ
КЕРАМИЧЕСКИХ ОБРАЗЦОВ ФАЗЫ $YBa_2Cu_3O_{7-\delta}$

А.Ю. Мусатенко, Р.Б. Туровский,
Н.А. Дрожко, Е.В. Благов

Процесс изготовления изделий из ВТСП включает в себя стадию высокотемпературного отжига, в течение которой формируется микроструктура сверхпроводящих керамических образцов, обеспечивающая их прочностные и сверхпроводящие характеристики.

В данном сообщении приводятся данные о влиянии температуры отжига на процесс спекания образцов, спрессованных из порошка $YBa_2Cu_3O_{7-\delta}$ в кислородной и инертной атмосферах.

Процессы спекания изучались на образцах, спрессованных из порошка $YBa_2Cu_3O_{7-\delta}$ ТУ 48-0531-375-87. Высокотемпературный отжиг образцов проводился в печи СУОЛ-2 в протоке кислорода на керамических подложках $ZrO_2 + Y_2O_3$. После выдержки при высокой температуре образцы охлаждались вместе с печью.

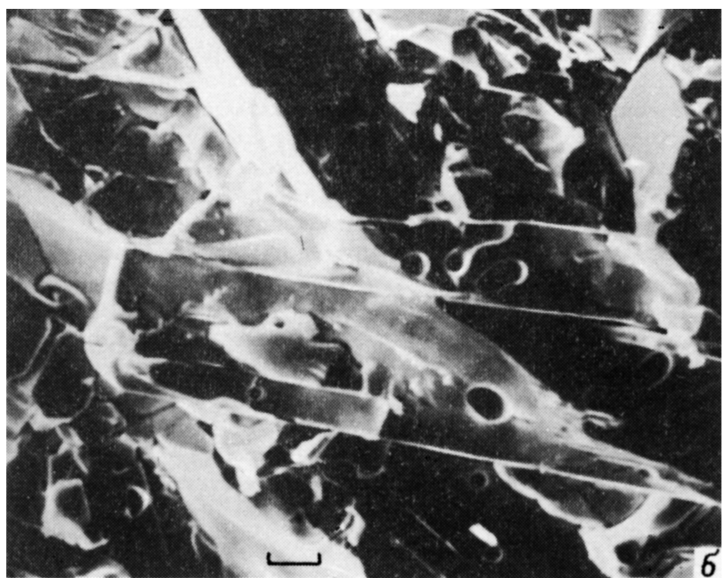
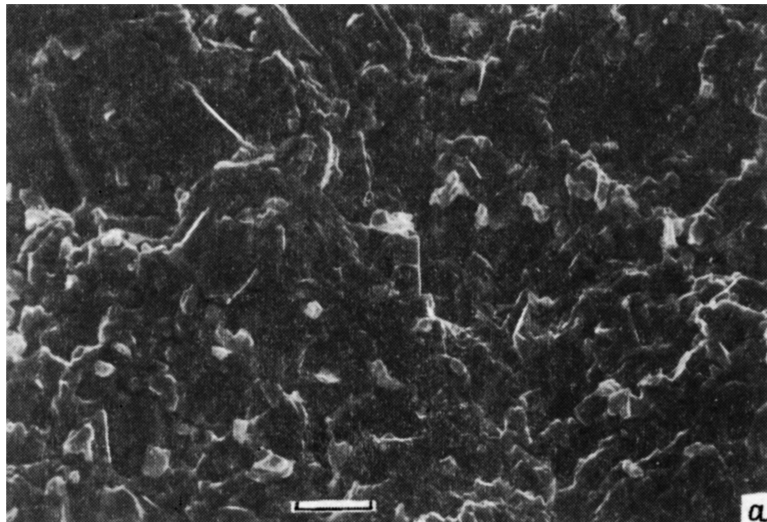
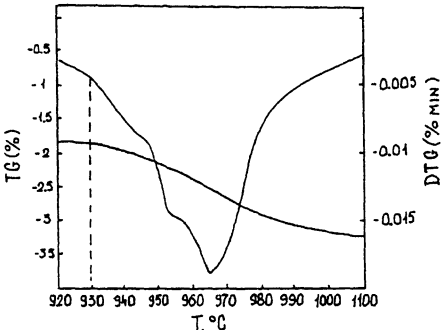


Рис. 1. а - скол образца $YBa_2Cu_3O_{7-x}$, отжигавшегося в кислородной атмосфере при 960°C 30 час., б - скол образца $YBa_2Cu_3O_{7-x}$, отжигавшегося в кислородной атмосфере при 970°C 20 час. + 950°C 10 час.

Рис. 2. Дериватограмма

$\text{YBa}_2\text{Cu}_3\text{O}_{7-\delta}$ в азотной атмосфере при скорости нагрева $0.5^{\circ}/\text{мин.}$



3.5. Термогравиметрический анализ в инертной атмосфере был проведен на дериватографе *SETARAM*.

Температурная зависимость электросопротивления образцов и критический ток в нулевом магнитном поле измерялись по стандартной потенциометрической четырехконтактной методике. Критический ток определялся по критерию 3 мкВ/см.

При отжиге образцов $\text{YBa}_2\text{Cu}_3\text{O}_{7-\delta}$ в интервале температур $930\text{--}990^{\circ}\text{C}$ наблюдалось, что до 970°C сохраняется исходный размер зерна, спекание частиц происходит в местах точечного контакта зерен (рис. 1, а). Отжиг при температуре $970\text{--}990^{\circ}\text{C}$ приводил к резкому изменению микроструктуры образцов (рис. 1, б): резко увеличился размер зерен фазы, образовались закрытые поры округлой формы. Эти данные указывают на смену механизма спекания частиц $\text{YBa}_2\text{Cu}_3\text{O}_{7-\delta}$ при превышении температуры примерно 965°C . Наличие пор округлой формы указывает на то, что при этих условиях твердофазная диффузия компонентов фазы в процессе спекания сменяется диффузией через жидкую составляющую, возникающую в межзеренном пространстве.

Аналогичный процесс увеличения размера зерна фазы $\text{YBa}_2\text{Cu}_3\text{O}_{7-\delta}$ во время отжига может быть реализован также понижением парциального давления кислорода при фиксированной температуре [1]. По литературным данным T_{pr} (температура превращения) понижается с 1030°C в кислородной атмосфере до 998°C на воздухе [2]. Для изучения термического предела устойчивости $\text{YBa}_2\text{Cu}_3\text{O}_{7-\delta}$ были проведены термогравиметрические измерения порошка фазы в бескислородной атмосфере. Перитектическое превращение в прото-ке азота происходит при 930°C , рис. 2. Отжиг образца $\text{YBa}_2\text{Cu}_3\text{O}_{7-\delta}$ в азотной атмосфере при 910°C в течение 20 часов не приводил к появлению посторонних фаз.

Полученные данные указывают на возможность проводить процесс спекания керамики $\text{YBa}_2\text{Cu}_3\text{O}_{7-\delta}$ через частичное плавление материала при фиксированной температуре 950°C . В таблице приведены параметры образцов, проходивших через частичный отжиг в азотной атмосфере.

Отжиг прессованных образцов при 950°C , проведенный с промежуточной продувкой азотом, повышал плотность критического

№ об- разца	Термообработка, $^{\circ}\text{C}/\text{час}$	ρ_{300} , м $\Omega\cdot\text{см}$	R_{300}/R_{100}	$J_K, B=0_2$ A/ см^2	ΔT_K , K
1	950/6.0 O_2	1.58	2.5	160	2.0
2	950/1.0 950/5.0 N_2/O_2	1.58	3.0	200	1.1
3	950/2.5 950/3.5 N_2/O_2	1.86	3.0	350	0.6
4	1030/2.0 860/4.0 N_2O_2	1.05	3.3	680	0.6

тока образцов до 400 A/cm^2 , $T = 91 \text{ K}$, повышение температуры до $1030 \text{ }^{\circ}\text{C}$ (образец № 4) также способствовало повышению J_K .

Было обнаружено, что скорость впуска кислорода в реакционный объем в процессе смены атмосферы также является фактором, существенно определяющим характер формирования микроструктуры. Приведенные в таблице данные получены при смене атмосферы в течение нескольких секунд. При медленном впуске кислорода (10 мл/мин) кристаллы $YBa_2Cu_3O_{7-x}$ растут параллельно поверхности образца, формируя аксиальную текстуру. Плотность критического тока таких образцов: $J_K(B=0)=10^2 \text{ A/cm}^2$.

Таким образом, было обнаружено, что отжиг при температурах выше $970 \text{ }^{\circ}\text{C}$ в кислородной атмосфере приводит к перекристаллизации материала и к формированию закрытой пористости. Понижение парциального давления кислорода до нуля уменьшает температуру стабильности $YBa_2Cu_3O_{7-x}$ до $930 \text{ }^{\circ}\text{C}$. Процесс разложения фазы, вызываемый уменьшением давления кислорода, обратим. Микроструктура восстановленных образцов $YBa_2Cu_3O_{7-x}$ существенным образом зависит от скорости впуска в реакционный объем кислорода.

Полученные данные могут быть использованы при целенаправленном формировании микроструктуры керамических образцов $YBa_2Cu_3O_{7-x}$.

В заключение благодарим Н.А. Козловскую и Д.М. Крюкову за проведение РФА и РЭМ исследований.

Список литературы

- [1] Mukherjee P.S., Simon A. et. al. // Sol. St. Comm. 1989. V. 72. P. 93-95.
- [2] Liccisi F., Tissot P., Scheel H.J. // J. Less.-Comm. 1989. V. 150, P. 201-206.

Поступило в Редакцию
3 октября 1990 г.